

# **Appunti di Scienza delle Costruzioni**

## **Capitolo 02a**

### **Analisi della tensione**



I contenuti del seguente documento sono protetti sotto licenza [Creative Commons BY-NC-SA 4.0](#): sono quindi ammesse la **condivisione**, la **ridistribuzione** e la **modifica** del materiale ivi contenuto, sotto le seguenti condizioni:

- **Attribuzione**: nel documento originale e nelle sue modifiche deve sempre figurare il nome reale o lo pseudonimo dell'autore, nonché la bibliografia originale;
- **Non-Commerciale**: è vietato qualsiasi utilizzo del presente documento e dei suoi contenuti a scopo commerciale e/o pubblicitario; ciò include la rivendita dello stesso o di parte dei suoi contenuti, ma è permessa la vendita a prezzo di stampa;
- **Share-Alike**: (it: "*Condividi allo stesso modo*") qualsiasi ridistribuzione del documento modificato o di parte di esso deve essere reso disponibile sotto la stessa licenza dell'originale, o sotto licenza ad essa compatibile.

Si chiede inoltre, anche se non è espressamente vietato, di non ridistribuire tale documento o parte dello stesso su piattaforme cloud private per pubblicizzare associazioni o eventi.

#### DISCLAIMER GENERALE:

L'autore - [PioApocalypse](#) - non si assume alcuna responsabilità per l'uso improprio dei contenuti di questo documento, né si ritiene responsabile della performance - positiva o negativa che sia - dello studente in sede d'esame.

Il materiale didattico qui fornito è da considerarsi come un supplemento al materiale indicato dal docente della materia, e trova le sue utilità principali nel riepilogo di lunghi segmenti del programma e nella spiegazione di determinati argomenti in cui lo studente potrebbe aver riscontrato difficoltà. Alcuni termini e semplificazioni qui utilizzati potrebbero non essere idonei durante la discussione degli argomenti del corso con il docente in sede d'esame, e sono proposti solo al fine di aiutare lo studente con la comprensione della materia.

Si prega, infine, di segnalare eventuali errori trovati all'interno del documento all'indirizzo e-mail indicato sulla [repository ufficiale](#), presso la quale è anche possibile trovare un link per chiunque desiderasse fare una piccola donazione all'autore.

Si ringrazia in anticipo per la cooperazione.

- PioApocalypse

## ANALISI DELLA TENSIONE

Le cause che producono cambiamenti di configurazione nei corpi continui - in termini di spostamenti e deformazioni - possono essere di varia natura: possiamo avere deformaz. in seguito all'applicazione di forze, l'imposizione di determinati spostamenti (come nella formatura a freddo), scambi di calore, reazioni chimiche, ecc...

In una teoria puramente meccanica, ci limiteremo a studiare solo gli effetti delle forze. Queste possono essere:

**INTERNE**  
originate all'interno dei corpi

**DI MASSA**  
dovute alla massa dei corpi

**ESTERNE**  
dovute a fattori esterni,  
come la gravità

**DI SUPERFICIE**  
dovute al contatto diretto dei corpi  
attraverso una superficie

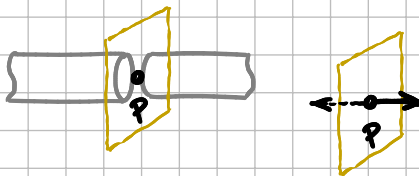
ESCLUSIVAMENTE

Esempi:

- F. interne (di superficie): tensione interna;
- F. esterne di massa: forza-peso;
- F. esterne di superficie: reazione vincolare.

Per le forze di superficie è lecito immaginare che esse dipendano anche dalla forma delle superfici di contatto tra più corpi.

Tale dipendenza - secondo l'ipotesi fondamentale di Cauchy - è limitata alla posizione della particella dove si realizza il contatto e alla direzione dei versori normali al piano tangente alla superficie di contatto passante per quel punto.



Al tempo stesso, esaminare e discutere le due leggi fondamentali della statica permette di specializzare la relazione sforzo interno / versore normale in una trasformazione lineare simmetrica.

## FORZE ESTERNE

Si ipotizza che sul corpo C possano agire due tipi di forze esterne in corrispondenza della configurazione indeformata:

► **FORZE PER UNITÀ DI VOLUME (MASSA):**  $d\underline{B} = \underline{b} dv$

Dove  $\underline{b}_i = b_i(x_1, x_2, x_3)$ ;  $[b_i] = N \cdot m^{-3} = [M \cdot L^{-2} \cdot T^{-2}]$

► **FORZE PER UNITÀ DI SUPERFICIE:**  $d\underline{P} = \underline{p} dS$

Dove  $\underline{p}_i = p_i(x_1, x_2, x_3)$ ;  $[p_i] = N \cdot m^{-2} = [M \cdot L^{-1} \cdot T^{-2}]$

Si assumerà da qui in poi che:

- Le forze  $\underline{p}(\underline{x})$  e  $\underline{b}(\underline{x})$  siano assolutamente continue rispetto all'area di contatto e al volume del corpo rispettivamente;
- Le forze  $\underline{b}(\underline{x})$  corrispondano alle sole forze peso;  $\underline{b}(\underline{x}) = \rho(\underline{x}) \underline{g}$
- Le forze  $\underline{p}(\underline{x})$  e  $\underline{b}(\underline{x})$  siano sufficientemente regolari e finite in ogni punto.

## o EQUAZIONI CARDINALI DELLA STATICA

Si definisce moto di un corpo continuo C un'applicazione del tipo:  $\underline{x} = \underline{\chi}(\underline{X}, t)$

Questo vale per  $\underline{X} \in C$ ,  $t \in [t_0, t_1]$   
e nel caso statico  $\underline{x} = \underline{\chi}(\underline{X})$

Possiamo scrivere le leggi di Eulero studiate a Meccanica Razionale cambiandone leggermente la simbologia:

$$\begin{aligned} \text{I} \quad \dot{\underline{q}}(C, t) &= \underline{f}(C, t) \quad \text{Dove: } \underline{f} = \int_C \underline{\theta}(\underline{x}, t) dV + \int_{\partial C} \underline{p}(\underline{x}, t) dS \\ \text{II} \quad \dot{\underline{h}}_0(C, t) &= \underline{m}_0(C, t) \quad \underline{m}_0 = \int_C (\underline{x} - \underline{x}_0) \wedge \underline{\theta}(\underline{x}, t) dV + \int_{\partial C} (\underline{x} - \underline{x}_0) \wedge \underline{p}(\underline{x}, t) dS \end{aligned}$$

$$\dot{\underline{q}} = \frac{d}{dt} Q = \frac{d}{dt} \int_C \rho(\underline{x}) \cdot \underline{v}(\underline{x}, t) dV$$

Q.TÀ DI MOTO DI C ALL'ISTANTE t

$$\dot{\underline{h}}_0 = \frac{d}{dt} H = \frac{d}{dt} \int_C (\underline{x} - \underline{x}_0) \wedge \rho(\underline{x}) \cdot \underline{v}(\underline{x}, t) dV$$

MOMENTO DELLA Q.TÀ DI MOTO DI C ALL'ISTANTE t RISPETTO AL POLO 0

$$\underline{v} = \frac{\partial \underline{x}}{\partial t} \equiv \text{VELOCITÀ}$$

Le equazioni fondamentali della statica costituiscono una specializzazione delle equazioni cardinali della dinamica dei corpi continui. Prendiamo dunque le leggi di Eulero, e assumiamo che il nostro corpo non debba incorrere in spostamenti variabili nel tempo:

$$\begin{aligned} \left\{ \begin{array}{l} \underline{v} = \underline{0} \\ \forall t \in [t_0, \infty) \end{array} \right. & \rightarrow \begin{array}{l} \text{I} \quad \underline{f}(C) = 0 \rightarrow \underline{f}(C) = \int_C \underline{\theta}(\underline{x}) dV + \int_{\partial C} \underline{p}(\underline{x}) dS = 0 \\ \text{II} \quad \underline{m}_0(C) = 0 \rightarrow \underline{m}_0(C) = \int_C (\underline{x} - \underline{x}_0) \wedge \underline{\theta}(\underline{x}) dV + \int_{\partial C} (\underline{x} - \underline{x}_0) \wedge \underline{p}(\underline{x}) dS = 0 \end{array} \end{aligned}$$

Perché C e non  $\underline{\chi}(C)$ ?

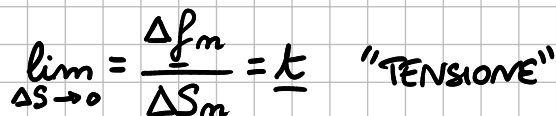
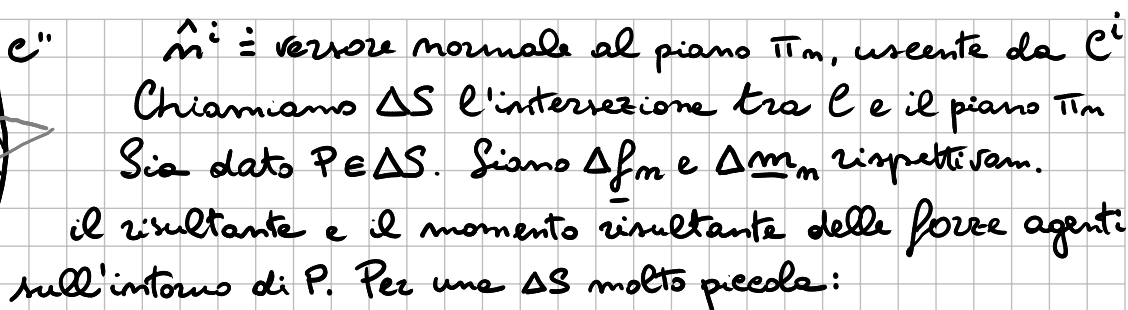
Ipotesi di piccoli spostamenti

## FORZE INTERNE

Un corpo risponde all'azione di forze esterne sviluppando forze interne che ne provocano la deformazione. Nella Meccanica Razionale e in altre materie del primo anno, abbiamo sempre o spesso trascurato lo studio delle forze interne, poiché nel nostro campo di interesse capitava che la risultante di queste si potesse considerare nulla poiché si cancellavano a vicenda per il Principio di Azione e Reazione.

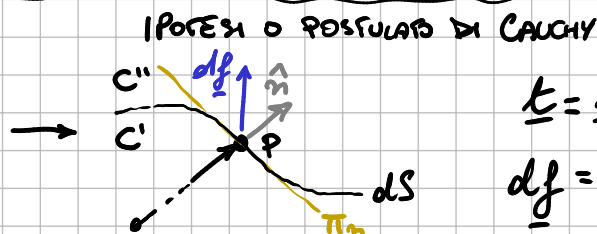
Adesso analizzeremo l'effetto delle forze interne con un approccio differente: consideriamo un corpo continuo C "tagliato" in due parti C' e C'' da un piano che indicheremo con  $\pi_n$ .





$$\lim_{\Delta S \rightarrow 0} = \frac{\Delta m_m}{\Delta S_m} = \underline{0}$$

Le due relazioni precedenti sono ancora valide qualora il corpo sia sezionato con una qualsiasi superficie curva passante per P, tale però che il piano ad essa tangente in P coincida con  $\pi_n$ .



$$\underline{t} = \underline{t}(x, \hat{n})$$

$$df = \underline{t}(\underline{x}, \hat{n}) \cdot dS$$

Una volta introdotte le forze interne (tensioni), le equazioni fondamentali della statica possono essere estese ad intorni di P piccoli a piacere, ed enunciate in forma generale:

$$\text{I} \quad \underline{f}(\underline{P}) = \int_{\underline{x}} \underline{e} \, d\underline{v} + \int_{\partial \underline{x}} \underline{p} \, d\underline{s} + \int_{\partial \underline{x}} \underline{\underline{t}} \, d\underline{s} = \underline{0}$$

$$\text{II} \quad \underline{m}_0(P) = \int_{\underline{x}} (\underline{x} - \underline{x}_0) \wedge \underline{b} \, dV + \int_{\partial \underline{x}} (\underline{x} - \underline{x}_0) \wedge \underline{p} \, dS + \int_{\partial \underline{x}} (\underline{x} - \underline{x}_0) \wedge \underline{t} \, dS = \underline{0}$$

Dietro ipotesi di piccoli spostamenti si considera la config. indeformata e si integra sull'intorno di  $P$ .

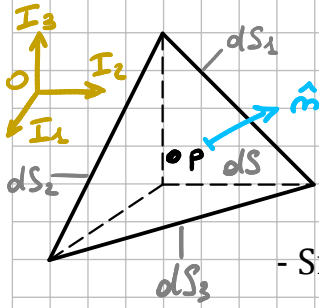
Supponendo la funzione  $\underline{t}(\underline{x}, \hat{m})$  continua rispetto a  $\underline{x}$ , esiste ed è unico il campo tensoriale  $\underline{T}(\underline{x})$  tale che:

$$\exists \underline{I}(\underline{x}): \underline{t}(\underline{x}, \hat{m}) = \underline{I}(\underline{x}) \cdot \hat{m}$$



## • DIMOSTRAZIONE

Si postuli l'esistenza di un intorno di P a forma di TETRAEDRO DI CAUCHY, figura che gode delle seguenti caratteristiche:



- Tre facce sono ortogonali ai tre assi del sistema di riferimento, quindi tangenti ai tre piani cartesiani formati dagli stessi;
- La quarta faccia si assume dunque obliqua rispetto a tutti e tre i piani, e si chiama  $\hat{n}$  il versore normale uscente;
- Si assume che il corpo sia in equilibrio statico sotto forze est. assegnate.

$$\hat{n} = [n_1, n_2, n_3], \quad |\hat{n}| = 1$$

Le normali alle superfici  $dS_i$  sono rappresentate dai vettori:  $-\hat{n}_i = -\hat{I}_i$

$$\begin{cases} t_1 = t_1(x, -\hat{I}_1) = -\sigma_1 \hat{I}_1 - \tau_{21} \hat{I}_2 - \tau_{31} \hat{I}_3 \\ t_2 = t_2(x, -\hat{I}_2) = -\tau_{12} \hat{I}_1 - \sigma_2 \hat{I}_2 - \tau_{32} \hat{I}_3 \\ t_3 = t_3(x, -\hat{I}_3) = -\tau_{13} \hat{I}_1 - \tau_{23} \hat{I}_2 - \sigma_3 \hat{I}_3 \end{cases} \rightarrow t = t(x, \hat{n}) = t_1 \hat{I}_1 + t_2 \hat{I}_2 + t_3 \hat{I}_3$$

$\sigma_i$ : TENSIONI NORMALI;  $\tau_{ij}$ : TENSIONI TANGENZIALI

$$-\tau_{ij} \rightarrow \begin{cases} \text{Tensione applicata lungo la direzione } i \\ \text{Con verso negativo } (-) \\ \text{Sulla superficie } j \end{cases}$$

Applichiamo la prima legge della statica sapendo che per Azione e Reazione (locale):

$$\int_{\partial \underline{x}} \underline{p} \cdot d\underline{S} = \underline{0}$$

$$t_i dS - (\sigma_i dS_i + \tau_{ij} dS_j + \tau_{ik} dS_k) + b_i dv = 0$$

per ogni  $i, j, k \in \{1, 2, 3\}$ :  $i \neq j, j \neq k, i \neq k$

Però se il tetraedro è infinitesimo è ovvio notare come  $dv$  sia estremamente più piccolo rispetto a  $dS$ , elemento che rende trascurabile il contributo delle forze di massa.

$$dv \ll dS \rightarrow b_i dv \approx 0$$

Inoltre si dimostra semplicemente che:  $\frac{dS_i}{dS} = n_i$

$$\text{Ergo: } t_i + b_i dv = \sigma_i \frac{dS_i}{dS} + \tau_{ij} \frac{dS_j}{dS} + \tau_{ik} \frac{dS_k}{dS}$$

$$\begin{cases} t_1 = \sigma_1 n_1 + \tau_{12} n_2 + \tau_{13} n_3 \\ t_2 = \tau_{21} n_1 + \sigma_2 n_2 + \tau_{23} n_3 \\ t_3 = \tau_{31} n_1 + \tau_{32} n_2 + \sigma_3 n_3 \end{cases} \quad \text{IN ALTRE PAROLE:}$$

$$\begin{bmatrix} t_1 \\ t_2 \\ t_3 \end{bmatrix} = \begin{bmatrix} \sigma_1 & \tau_{12} & \tau_{13} \\ \tau_{21} & \sigma_2 & \tau_{23} \\ \tau_{31} & \tau_{32} & \sigma_3 \end{bmatrix} \cdot \begin{bmatrix} n_1 \\ n_2 \\ n_3 \end{bmatrix}$$

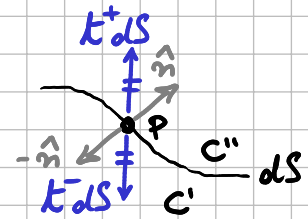
$$\text{Dunque: } t(x, \hat{n}) = \underline{T} \cdot \hat{n}$$

Dove  $\underline{T} \circ \underline{T} \doteq$  TENSORE DI CAUCHY  
(o DELLE TENSIONI)

Le componenti di tensione sono funzioni del punto P e si possono assumere regolari (o quanto meno continue rispetto alla variabile  $x$ ). Il tensore di Cauchy è lineare, e un'immediata conseguenza di questa proprietà è il Principio di Azione e Reazione:

$$\underline{t}(x, -\hat{n}) = \underline{T}(x) \cdot (-\hat{n}) = -\underline{T}(x) \cdot \hat{n} = -\underline{t}(x, \hat{n})$$

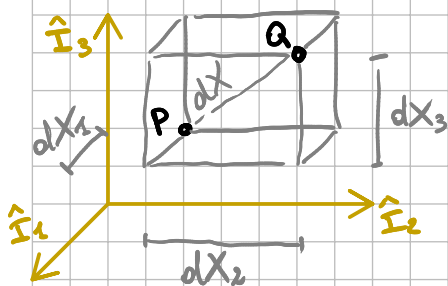
$$\hookrightarrow \underline{t}^- = -\underline{t}^+$$



Il teorema di Cauchy può essere utilizzato per scrivere le equazioni di equilibrio locale in corrispondenza di punti della superficie esterna di un corpo, dove siano assegnate forze di superficie  $p(x)$ .

$$\underline{T}(x) \cdot \hat{n} = p(x) \quad \begin{cases} \sigma_1 n_1 + \tau_{12} n_2 + \tau_{13} n_3 = p_1 \\ \tau_{21} n_1 + \sigma_2 n_2 + \tau_{23} n_3 = p_2 \\ \tau_{31} n_1 + \tau_{32} n_2 + \sigma_3 n_3 = p_3 \end{cases}$$

## EQUAZIONI INDEFINITE DI EQUILIBRIO



Prendiamo due punti P e Q appartenenti ad uno stesso corpo, tali che:

$$\underline{x}_P = \underline{x}_i, \quad \underline{x}_Q = \underline{x}_i + d\underline{x}$$

Il parallelepipedo con diagonale PQ avrà come volume:

$$dv = dx_1 dx_2 dx_3$$

Le differenze tra le tensioni agenti sui punti P e Q può essere espressa come segue, indicando con l'apice ' le tensioni agenti in Q e senza apice quelle agenti in P.

$$\begin{cases} \sigma'_i \approx \sigma_i(x_i + dx_i, x_j, x_k) = \sigma_i + \frac{\partial \sigma_i}{\partial x_i} dx_i \\ \tau'_{ij} \approx \tau_{ij}(x_i + dx_i, x_j, x_k) = \tau_{ij} + \frac{\partial \tau_{ij}}{\partial x_j} dx_j \end{cases} \quad \begin{array}{l} \text{dove } i, j, k \in \{1, 2, 3\} \\ \text{e } i \neq j, j \neq k, i \neq k \end{array}$$

(TOTALE DI 9 EQUAZIONI)

Si imponga il soddisfacimento della prima equazione cardinale della statica, considerando questa volta anche le forze di massa  $b(x)$ . Sul solo asse 1:

$$\sigma'_1 dx_2 dx_3 + \tau'_{12} dx_1 dx_3 + \tau'_{13} dx_1 dx_2 - \sigma_1 dx_2 dx_3 - \tau_{12} dx_1 dx_3 - \tau_{13} dx_1 dx_2 + b_1 dv = 0$$

$$\text{Ossia: } \frac{\partial \sigma_1}{\partial x_1} dx_1 dx_2 dx_3 + \frac{\partial \tau_{12}}{\partial x_2} dv + \frac{\partial \tau_{13}}{\partial x_3} dv + b_1 dv = 0$$

$$\text{Dividendo per } dv: \frac{\partial \sigma_1}{\partial x_1} + \frac{\partial \tau_{12}}{\partial x_2} + \frac{\partial \tau_{13}}{\partial x_3} + b_1 = 0$$

$$\text{IN GENERALE: } \frac{\partial \sigma_i}{\partial x_i} + \frac{\partial \tau_{ij}}{\partial x_j} + \frac{\partial \tau_{ik}}{\partial x_k} + b_i = 0$$



Semplicemente, è dunque vero che:

$$\text{Div}(\underline{T}) + \underline{b} = \underline{0}$$

$$(\text{o anche } \underline{\nabla} \cdot \underline{T} + \underline{b} = \underline{0})$$

NOTA: la divergenza di un tensore del secondo ordine (matrice) restituisce un tensore del primo ordine (vettore) i cui elementi sono così definiti:

$$(\underline{\nabla} \cdot \underline{T})_i = \frac{\partial T_{ii}}{\partial x_i} + \frac{\partial T_{ij}}{\partial x_j} + \frac{\partial T_{ik}}{\partial x_k}$$

$$\text{DUNQUE: } \underline{\nabla} \cdot \underline{T} = \begin{bmatrix} \frac{\partial \sigma_1}{\partial x_1} + \frac{\partial \tau_{12}}{\partial x_2} + \frac{\partial \tau_{13}}{\partial x_3} \\ \frac{\partial \tau_{21}}{\partial x_1} + \frac{\partial \sigma_2}{\partial x_2} + \frac{\partial \tau_{23}}{\partial x_3} \\ \frac{\partial \tau_{31}}{\partial x_1} + \frac{\partial \tau_{32}}{\partial x_2} + \frac{\partial \sigma_3}{\partial x_3} \end{bmatrix}$$

## SIMMETRIA DEL TENSORE $\underline{T}$

Si applica la seconda legge cardinale della statica al parallelepipedo di cui sopra, imponendo l'equilibrio alla rotazione intorno al punto P. Dunque:

$$\sum_{i,j,k} \underline{r}_k \wedge (\underline{T}_{ij} dS_k) = \underline{0}$$

Si limiti l'equazione al solo equilibrio lungo l'asse 1 passante per P:

$$\begin{aligned} & (\tau_{31} dx_2 dx_3) \frac{dx_2}{2} - (\tau_{21} dx_2 dx_3) \frac{dx_3}{2} - (\sigma_2' dx_1 dx_3) \frac{dx_3}{2} + \\ & + (\tau_{32} dx_1 dx_3) dx_2 - (\tau_{23} dx_1 dx_2) dx_3 + (\sigma_2' dx_1 dx_2) \frac{dx_2}{2} + \\ & - (\tau_{31} dx_2 dx_3) \frac{dx_2}{2} + (\tau_{21} dx_2 dx_3) \frac{dx_3}{2} + (\sigma_2 dx_1 dx_3) \frac{dx_3}{2} \\ & - (\sigma_2 dx_1 dx_2) \frac{dx_2}{2} - (\theta_2 d\varphi) \frac{dx_3}{2} + (\theta_3 d\varphi) \frac{dx_2}{2} = 0 \end{aligned}$$

Però assumendo  $\tau_{ij}' \approx \tau_{ij}$  e  $\sigma_i' \approx \sigma_i$ :

$$(\tau_{32} dx_1 dx_3) dx_2 - (\tau_{23} dx_1 dx_2) dx_3 - (\theta_2 d\varphi) \frac{dx_3}{2} + (\theta_3 d\varphi) \frac{dx_2}{2} = 0$$

$$\text{Però } d\varphi \cdot dx_i \ll d\varphi \text{ dunque } -(\theta_2 d\varphi) \frac{dx_3}{2} + (\theta_3 d\varphi) \frac{dx_2}{2} \approx 0$$

Rimangono con:

$$\tau_{32} d\varphi - \tau_{23} d\varphi = 0, \quad \tau_{32} = \tau_{23}$$

Applicando lo stesso ragionamento lungo gli altri due assi, otterremo che:

$$\tau_{31} = \tau_{13} \quad \text{U} \quad \tau_{21} = \tau_{12}$$

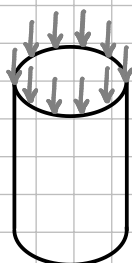
...dimostrando così la simmetria del tensore di Cauchy.

$$\underline{T} = \underline{T}^T = \begin{bmatrix} \sigma_1 & \tau_{12} & \tau_{13} \\ \tau_{12} & \sigma_2 & \tau_{23} \\ \tau_{13} & \tau_{23} & \sigma_3 \end{bmatrix}$$



Se il campo di tensori simmetrici  $\underline{T}$  soddisfa la relazione  $\nabla \cdot \underline{T} + \underline{b} = \underline{0}$  allora si dice che  $\underline{T}$  è staticamente compatibile con il campo di forze  $\underline{b}(\underline{x})$  assegnato. Se inoltre  $\underline{T}$  soddisfa anche la condizione al contorno di tipo statico  $\underline{T} \cdot \hat{n} = \underline{p}$  dove  $\underline{p}(\underline{x})$  è il campo di forze di superficie assegnato al contorno, allora si dirà che  $\underline{T}$  è staticamente ammissibile con le forze di massa e di superficie assegnate.

ESEMPIO:



Assegnate  $\underline{p} = -10 \frac{N}{cm^2} \hat{i}_3$

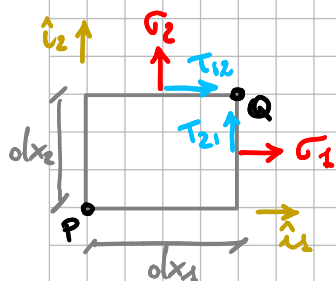
Dunque  $\underline{p} = p_3 \hat{i}_3 \rightarrow \underline{T}_3 \cdot \hat{n}_3 = p_3 = -10 \dots$

$$\underline{T} = \begin{bmatrix} \sigma_1 & T_{12} & T_{13} \\ T_{12} & \sigma_2 & T_{23} \\ T_{13} & T_{23} & \sigma_3 \end{bmatrix} \rightarrow \underline{T}_3 = \begin{bmatrix} T_{13} \\ T_{23} \\ \sigma_3 \end{bmatrix} \quad \hat{n}_3 = \begin{bmatrix} 0 \\ 0 \\ 1 \end{bmatrix}$$

Quindi semplicemente

$$\sigma_3 = p_3 = -10 \frac{N}{cm^2} \quad \text{mentre } T_{13} = 0 \text{ e } T_{23} = 0$$

### • PRINCIPIO DI RECIPROCAITÀ DELLE TENSIONI TANGENZIALI



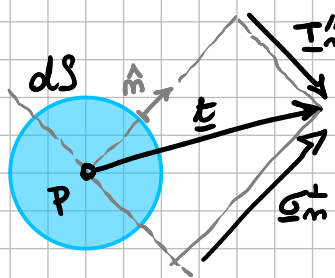
Nel piano:  $\underline{T}(\underline{x}) = \begin{bmatrix} \sigma_1 & T_{12} \\ T_{12} & \sigma_2 \end{bmatrix}$ ,  $\underline{T} = \begin{bmatrix} \sigma_1 & T_{12} \\ T_{12} & \sigma_2 \end{bmatrix} \cdot \hat{n}$

Poiché  $T_{12} = T_{21}$ :

- ▷ Se i loro segni sono positivi convergono nel vertice Q;
- ▷ Se i loro segni sono negativi divergono dal vertice Q.

### TENSIONI PRINCIPALI E DIREZIONI PRINCIPALI DI TENSIONE

Fissato  $P \in C$ , sia  $dS$  una superficie infinitesima centrata in  $P$  di normale uscente  $\hat{n}$



$\underline{t}$  può essere scritto come la somma di due componenti: una sempre parallela ad  $\hat{n}$  (ortogonale a  $\partial_f dS$ ) ed una sempre ortogonale ad  $\hat{n}$  (tangente a  $\partial_f dS$ ).

$$\begin{cases} \underline{\sigma}_n = (\underline{t} \cdot \hat{n}) \cdot \hat{n} = (\underline{T} \cdot \hat{n} \cdot \hat{n}) \cdot \hat{n} \\ \underline{\tau}_n = \underline{t} - \underline{\sigma}_n = \underline{T} \cdot \hat{n} - \underline{\sigma}_n \end{cases}$$

Ci si chiede - potendo variare l'orientamento nello spazio dell'intorno di  $P$  e dunque il suo versore normale - se esista una giacitura particolare di  $dS$  per cui si verifichi che:

$$\underline{\tau}_n = \underline{0} \quad \text{ossia} \quad \underline{T} \cdot \hat{n}' = \lambda \cdot \hat{n}' \quad \text{con } \lambda \in \mathbb{R}$$

$$\text{ossia} \quad (\underline{T} - \lambda \underline{I}) \cdot \hat{n}' = \underline{0}$$

Dunque:  $(\underline{T} - \lambda \underline{I}) \cdot \hat{n} = 0 \rightarrow \begin{vmatrix} \sigma_1 - \lambda & \tau_{12} & \tau_{13} \\ \tau_{12} & \sigma_2 - \lambda & \tau_{23} \\ \tau_{13} & \tau_{23} & \sigma_3 - \lambda \end{vmatrix} = 0$

$\lambda$  potrà assumere (al più) 3 valori reali tali che:  $\lambda_I \geq \lambda_{II} \geq \lambda_{III}$

$\lambda_I, \lambda_{II}$  e  $\lambda_{III}$  sono autovalori di  $\underline{T}$ , sono tensioni normali ( $\sigma_I, \sigma_{II}$  e  $\sigma_{III}$ ) e prendono il nome di TENSIONI PRINCIPALI.

$$\left. \begin{aligned} (\underline{T} - \sigma_I \underline{I}) \cdot \hat{e}_1 &= 0 & \hat{e}_1 \text{ é...} \\ (\underline{T} - \sigma_{II} \underline{I}) \cdot \hat{e}_2 &= 0 & \hat{e}_2 \text{ é...} \\ (\underline{T} - \sigma_{III} \underline{I}) \cdot \hat{e}_3 &= 0 & \hat{e}_3 \text{ é...} \end{aligned} \right\} \begin{array}{l} \text{autovettore di } \underline{T} \text{ e} \\ \text{DIREZIONE PRINCIPALE DI TENSIONE} \end{array}$$

Rispetto alla terna  $\hat{e}_1, \hat{e}_2, \hat{e}_3$ ,  $\underline{T}$  è scritta come segue:

$$\underline{T} = \begin{bmatrix} \sigma_I & 0 & 0 \\ 0 & \sigma_{II} & 0 \\ 0 & 0 & \sigma_{III} \end{bmatrix}$$

In analogia a quanto già verificato per le componenti del tensore di deformazione infinitesima ( $\underline{\epsilon}$ ) possiamo dimostrare che la minima e la massima componente normale di tensione si mobilitano su una delle giaciture ortogonali alle direzioni principali di tensione. Per quanto riguarda le tensioni tangenziali:

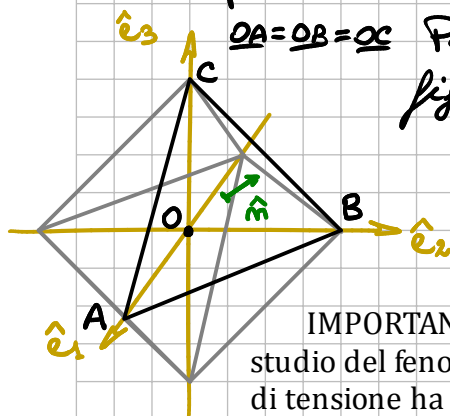
- Il minimo valore assoluto si mobilita sulle giaciture ortogonali alle direzioni principali di tensione (= 0, per definizione di direzioni e tensioni principali);
- Il massimo valore assoluto si registra su ciascuna delle due coppie di giaciture ortogonali alle bisettrici dei quadranti delimitati dalle due direzioni principali cui corrispondono rispettivamente la massima e la minima tensione principale.

$$\hookrightarrow (\tau''_m)_{\max} = \|\underline{\tau}''_m\|_{\max} = \max \left\{ \frac{1}{2} |\sigma_I - \sigma_{II}|; \frac{1}{2} |\sigma_I - \sigma_{III}|; \frac{1}{2} |\sigma_{II} - \sigma_{III}| \right\}$$

Abbiamo detto arbitrariamente che:  $\sigma_I \geq \sigma_{II} \geq \sigma_{III}$

dunque:  $(\tau''_m)_{\max} = \|\underline{\tau}''_m\|_{\max} = \frac{1}{2} (\sigma_I - \sigma_{III})$

NOTA: Nel caso di studio di una pressione idrostatica (Meccanica dei Fluidi) avremo che  $\sigma_I = \sigma_{II} = \sigma_{III}$ , dunque  $(\tau''_m)_{\max} = (\tau''_m)_{\min} = 0$ . La tensione è dunque SEMPRE normale alle superficie, ma ricordiamo che questa è un'eccezione e non la regola.



Postuliamo l'esistenza dell'ottaedro regolare in figura e lato. Analizziamo le tensioni della faccia  $\hat{ABC}$ .

$$\hat{n} = \frac{\sqrt{3}}{3} (\hat{e}_1 \hat{e}_2 \hat{e}_3) \rightarrow \sigma_n^\perp = \frac{1}{3} (\sigma_I + \sigma_{II} + \sigma_{III})$$

$$\text{mentre } \tau''_n = \|\underline{\tau}_{tot}\| = \frac{1}{3} \sqrt{(\sigma_I - \sigma_{II})^2 + (\sigma_{II} - \sigma_{III})^2 + (\sigma_I - \sigma_{III})^2}$$

IMPORTANTE: questo modulo della tensione tangenziale ottaedrica è alla base dello studio del fenomeno dello snervamento, perché permette di studiare a quali valori di tensione ha inizio la transizione del materiale dal campo elastico a quello plastico.